

Supercondutividade

Leandro Alexandre

Universidade do Estado do Rio de Janeiro
Instituto de Física
Mecânica Quântica II

27 de fevereiro de 2008



- 1 Introdução
- 2 Modelo de Gorter-Casimir
- 3 Modelo de Ginzburg-Landau
- 4 Teoria BCS

Breve Histórico da Supercondutividade (SC)

- 1911: Onnes descobre a supercondutividade

Breve Histórico da Supercondutividade (SC)

- 1911: Onnes descobre a supercondutividade
- 1933: Efeito Meissner → fluxo magnético excluído do interior do SC, a menos de uma pequena região de penetração próxima a sua superfície.

Breve Histórico da Supercondutividade (SC)

- 1911: Onnes descobre a supercondutividade
- 1933: Efeito Meissner → fluxo magnético excluído do interior do SC, a menos de uma pequena região de penetração próxima a sua superfície.
- 1934: Modelo de Gorter-Casimir → ansatz para a energia livre de um SC (modelo fenomenológico - abordagem termodinâmica)

Breve Histórico da Supercondutividade (SC)

- 1911: Onnes descobre a supercondutividade
- 1933: Efeito Meissner → fluxo magnético excluído do interior do SC, a menos de uma pequena região de penetração próxima a sua superfície.
- 1934: Modelo de Gorter-Casimir → ansatz para a energia livre de um SC (modelo fenomenológico - abordagem termodinâmica)
- 1935: Modelo dos irmãos London (modelo fenomenológico - abordagem eletromagnética)

Breve Histórico da Supercondutividade (SC)

- 1911: Onnes descobre a supercondutividade
- 1933: Efeito Meissner → fluxo magnético excluído do interior do SC, a menos de uma pequena região de penetração próxima a sua superfície.
- 1934: Modelo de Gorter-Casimir → ansatz para a energia livre de um SC (modelo fenomenológico - abordagem termodinâmica)
- 1935: Modelo dos irmãos London (modelo fenomenológico - abordagem eletromagnética)
- 1950: Teoria de Ginzburg-Landau → função de onda complexa como parâmetro de ordem

Breve Histórico da Supercondutividade (SC)

- 1911: Onnes descobre a supercondutividade
- 1933: Efeito Meissner → fluxo magnético excluído do interior do SC, a menos de uma pequena região de penetração próxima a sua superfície.
- 1934: Modelo de Gorter-Casimir → ansatz para a energia livre de um SC (modelo fenomenológico - abordagem termodinâmica)
- 1935: Modelo dos irmãos London (modelo fenomenológico - abordagem eletromagnética)
- 1950: Teoria de Ginzburg-Landau → função de onda complexa como parâmetro de ordem
- 1957: Teoria BCS → formação de estado ligado elétron-elétron (teoria padrão da supercondutividade)

BCS → Bardeen-Cooper-Schrieffer

Fatos Experimentais: Resistividade

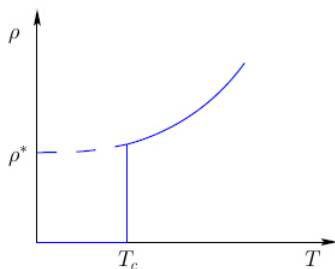


Figure 1: Schematic representation of the resistivity of a metal with a transition to a superconducting phase at T_c .

$$\rho(T) \sim T^2, \quad \text{para f\u00e9rmions normais}$$

Fatos Experimentais: Calor Específico

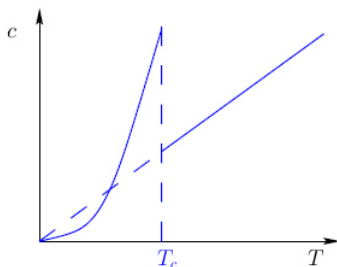
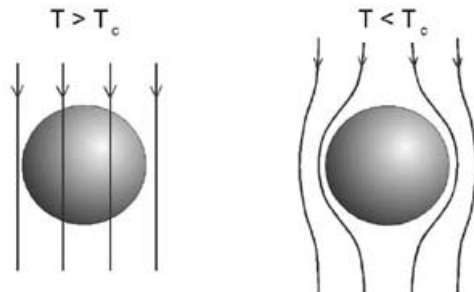


Figure 2: Schematic representation of the specific heat of a metal with a transition to a superconducting phase at T_c .

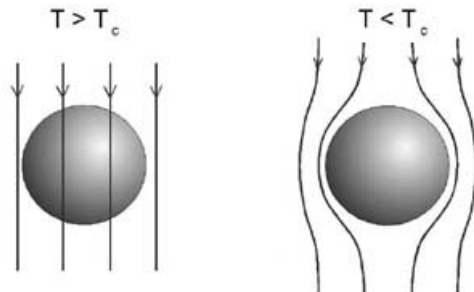
$$C_{V_n} \sim T$$

$$C_{V_S} \sim \exp\left(-\frac{a}{T}\right)$$

Fatos Experimentais: Efeito Meissner



Fatos Experimentais: Efeito Meissner



- Campos magnéticos suficientemente baixos

Fatos Experimentais: Efeito Meissner

Fatos Experimentais: Campo Magnético Crítico H_c

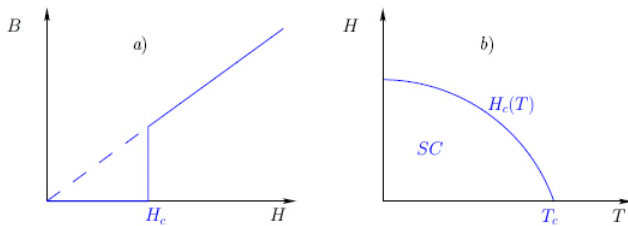


Figure 3: Magnetic properties of type I superconductors.

Fatos Experimentais: Campo Magnético Crítico H_c

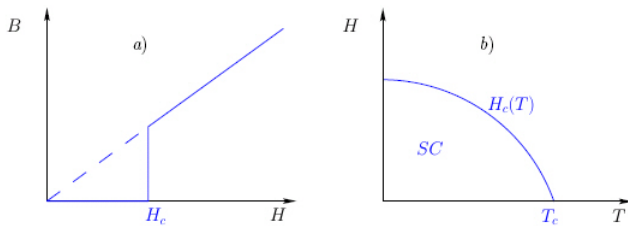
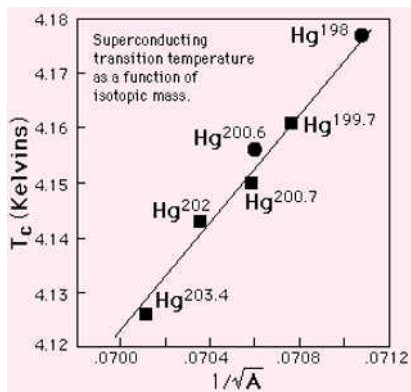


Figure 3: Magnetic properties of type I superconductors.

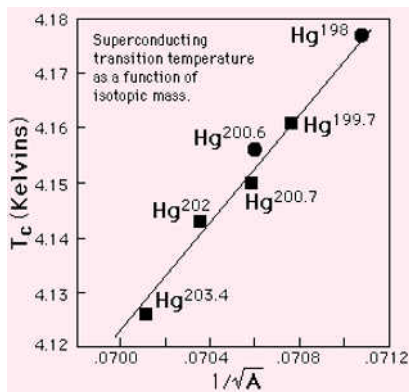
$$H_c(T) = H_c(0) \left[1 - \left(\frac{T}{T_c} \right)^2 \right]$$

$H > H_c(T)$ para dada T : amostra volta ao estado normal

Fatos Experimentais: Efeito Isótopo



Fatos Experimentais: Efeito Isótopo



Troca de um dos isótopos de uma rede cristalina gera um shift em alguns observáveis.

$$T_c \propto M^{-\frac{1}{2}}$$

Modelo de Gorter-Casimir

- Ansatz para a energia livre

Modelo de Gorter-Casimir

- Ansatz para a energia livre

$$F(x, T) = \sqrt{x}f_n(T) + (1 - x)f_S(T)$$

- $x \equiv$ fração de elétrons no fluido normal
- $(1 - x) \equiv$ fração de elétrons no superfluido

$$f_n(T) \equiv -\frac{\gamma}{2}T^2 \quad \left(C_v = -T \frac{\partial^2 F}{\partial T^2} = \gamma T \right)$$

$$f_S(T) \equiv -\beta = \text{cte}$$

Modelo de Gorter-Casimir

- Minimizando a energia em relação a x :

$$x = \frac{\gamma^2}{16\beta^2} T^4$$

Fazendo $x = 1$, obtemos a temperatura crítica:

$$T_c^2 = \frac{4\beta}{\gamma}$$

Juntando as expressões,

$$x = \left(\frac{T}{T_c} \right)^4$$

$T = 0 \rightarrow x = 0 \rightarrow$ todos os elétrons no estado SC

Modelo de Gorter-Casimir

Reescrevendo a energia livre:

$$F_S(T) = -\beta \left[1 + \left(\frac{T}{T_c} \right)^4 \right]$$

Com

$$F_S(T) + \frac{H_c^2(T)}{8\pi} = F_n(T) \rightarrow \text{destruição da SC por um campo crítico } H_c$$

Temos:

$$H_c(T) = 8\pi\beta \left[1 - \left(\frac{T}{T_c} \right)^2 \right]$$

Modelo de Gorter-Casimir

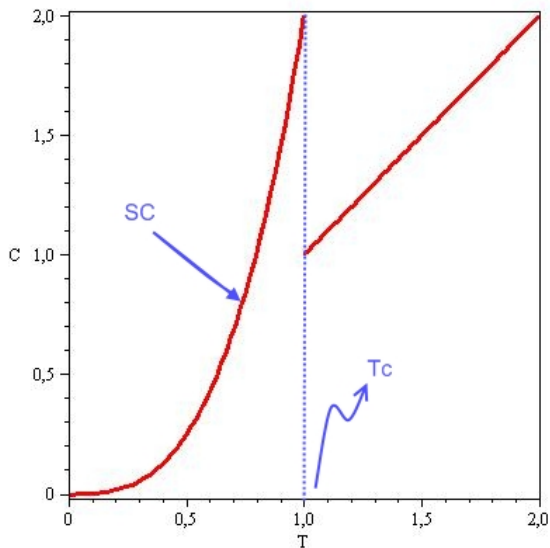
Calor Específico:

$$C_V = -T \frac{\partial^2 F(T)}{\partial T^2}$$

$$C_{V_n} = \gamma T$$

$$C_{V_S} = 3\gamma T_c \left(\frac{T}{T_c} \right)^3$$

Modelo de Gorter-Casimir



Considerações Iniciais

- Energia livre (F) como um funcional de um campo ψ

Considerações Iniciais

- Energia livre (F) como um funcional de um campo ψ
- ψ deve descrever as possíveis fases do sistema

Considerações Iniciais

- Energia livre (F) como um funcional de um campo ψ
- ψ deve descrever as possíveis fases do sistema

$\psi \rightarrow$ parâmetro de ordem do sistema:

- $\psi = 0$ na fase de alta temperatura ($T > T_c$)
- $\psi \neq 0$ para $T < T_c$

$$F[\psi] = F_n[\psi] + \frac{1}{V} \int d^3x \left[a \frac{T - T_c}{T_c} |\psi(\vec{x})|^2 + \frac{b}{2} |\psi(\vec{x})|^4 + \dots + \frac{\hbar^2}{2m} |\nabla\psi(\vec{x})|^2 \right]$$

Ginzburg-Landau sem campo magnético

- Considerando $|\psi(\vec{x})| \equiv |\psi|$ uma função homogênea:

Ginzburg-Landau sem campo magnético

- Considerando $|\psi(\vec{x})| \equiv |\psi|$ uma função homogênea:

Ginzburg-Landau sem campo magnético

- Considerando $|\psi(\vec{x})| \equiv |\psi|$ uma função homogênea:

$$F[\psi] = F_n[\psi] + V(|\psi|)$$

$$V(|\psi|) = a \frac{T - T_c}{T_c} |\psi|^2 + \frac{b}{2} |\psi|^4$$

Ginzburg-Landau sem campo magnético

- Considerando $|\psi(\vec{x})| \equiv |\psi|$ uma função homogênea:

$$F[\psi] = F_n[\psi] + V(|\psi|)$$

$$V(|\psi|) = a \frac{T - T_c}{T_c} |\psi|^2 + \frac{b}{2} |\psi|^4$$

- Minimizando V em relação a ψ :

$$\psi_1 = 0$$

$$\psi_2 = i \sqrt{\frac{a}{b} \frac{T - T_c}{T_c}}$$

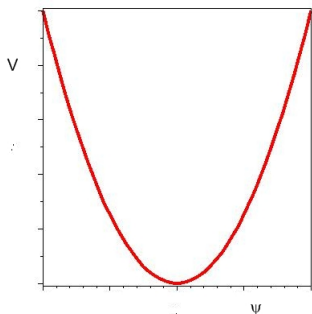
$$\psi_3 = -i \sqrt{\frac{a}{b} \frac{T - T_c}{T_c}}$$

Ginzburg-Landau sem campo magnético

- Caso $T > T_c$: $T - T_c \rightarrow |T - T_c|$

$$\left. \frac{d^2 V}{d\psi^2} \right|_{\psi_1} = 2a \frac{|T - T_c|}{T_c} > 0 \therefore \psi_1 \text{ é mínimo}$$

$\langle |\psi| \rangle = 0$ (valor esperado)



Ginzburg-Landau sem campo magnético

- Caso $T < T_c$: $T - T_c \rightarrow -|T - T_c|$

$$\left. \frac{d^2 V}{d\psi^2} \right|_{\psi_1} = -2a \frac{|T - T_c|}{T_c} < 0 \therefore \psi_1 \text{ é máximo}$$

$$\left. \frac{d^2 V}{d\psi^2} \right|_{\psi_2} > 0 \therefore \psi_2 \text{ é mínimo}$$

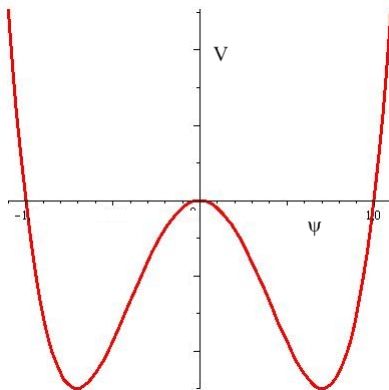
$$\left. \frac{d^2 V}{d\psi^2} \right|_{\psi_3} > 0 \therefore \psi_3 \text{ é mínimo}$$

Ginzburg-Landau sem campo magnético

$$\langle |\psi| \rangle = \pm \sqrt{\frac{a}{b} \frac{|T - T_c|}{T_c}}$$

(valor esperado)

Escolhendo um dos vácuos, a simetria é quebrada...

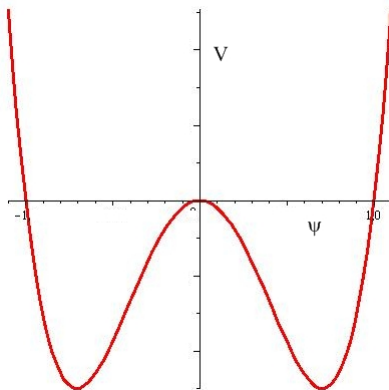


Ginzburg-Landau sem campo magnético

$$\langle |\psi| \rangle = \pm \sqrt{\frac{a}{b} \frac{|T - T_c|}{T_c}}$$

(valor esperado)

Escolhendo um dos vácuos, a simetria é quebrada...



Ginzburg-Landau sem campo magnético

Ginzburg-Landau sem campo magnético

Temos então:

- Parâmetro de Ordem nulo \rightarrow sistema na fase normal
($F(T) = F_n(T)$)

Ginzburg-Landau sem campo magnético

Temos então:

- Parâmetro de Ordem nulo \rightarrow sistema na fase normal
($F(T) = F_n(T)$)
- Parâmetro de Ordem não-nulo \rightarrow sistema na fase supercondutora

Ginzburg-Landau sem campo magnético

Temos então:

- Parâmetro de Ordem nulo \rightarrow sistema na fase normal ($F(T) = F_n(T)$)
- Parâmetro de Ordem não-nulo \rightarrow sistema na fase supercondutora
- Expoente Crítico:

Parâmetro de ordem $\sim \left(\frac{|T - T_c|}{T_c}\right)^\beta$

$$|\psi| = \sqrt{\frac{a}{b} \frac{|T - T_c|}{T_c}}$$

$\therefore \beta = \frac{1}{2} \rightarrow$ expoente crítico do modelo de G.L

Ginzburg-Landau sem campo magnético

Calor Específico:

$$C_V = -T \frac{\partial^2 F}{\partial T^2}$$

$$C_V^S = -T \frac{\partial^2}{\partial T^2} \left[F_n(T) - a \frac{|T - T_c|}{T_c} |\psi|^2 + \frac{b}{2} |\psi|^4 \right]$$

Ginzburg-Landau sem campo magnético

Calor Específico:

$$C_V = -T \frac{\partial^2 F}{\partial T^2}$$

$$C_V^S = -T \frac{\partial^2}{\partial T^2} \left[F_n(T) - a \frac{|T - T_c|}{T_c} |\psi|^2 + \frac{b}{2} |\psi|^4 \right]$$



$$C_V^S = \left(\frac{a^2}{bT_c^2} \right) T + C_V^n \quad (T < T_c)$$

Ginzburg-Landau sem campo magnético

Calor Específico:

$$C_V = -T \frac{\partial^2 F}{\partial T^2}$$

$$C_V^S = -T \frac{\partial^2}{\partial T^2} \left[F_n(T) - a \frac{|T - T_c|}{T_c} |\psi|^2 + \frac{b}{2} |\psi|^4 \right]$$



$$C_V^S = \left(\frac{a^2}{bT_c^2} \right) T + C_V^n \quad (T < T_c)$$



$$C_V^S = C_V^n = C_V \quad (T > T_c)$$

Ginzburg-Landau com campo magnético

$$\vec{F} = e\left(\vec{E} + \frac{\vec{v}}{c} \times \vec{B}\right)$$

$$\vec{E} = -\nabla\phi - \frac{1}{c}\frac{\partial\vec{A}}{\partial t}, \quad \vec{B} = \nabla \times \vec{A}$$

Força generalizada para potenciais que dependem do tempo:

$$Q_k = -\frac{\partial U}{\partial q_k} + \frac{d}{dt}\left(\frac{\partial U}{\partial \dot{q}_k}\right)$$

Ginzburg-Landau com campo magnético

$$\vec{F} = e \left(\vec{E} + \frac{\vec{v}}{c} \times \vec{B} \right)$$

$$\vec{E} = -\nabla\phi - \frac{1}{c} \frac{\partial \vec{A}}{\partial t}, \quad \vec{B} = \nabla \times \vec{A}$$

Força generalizada para potenciais que dependem do tempo:

$$Q_k = -\frac{\partial U}{\partial q_k} + \frac{d}{dt} \left(\frac{\partial U}{\partial \dot{q}_k} \right)$$

Problema: $U = ???$

$$\vec{F} = e \left(-\nabla\phi - \frac{1}{c} \frac{\partial \vec{A}}{\partial t} + \frac{\vec{v}}{c} \times (\nabla \times \vec{A}) \right)$$

Ginzburg-Landau com campo magnético

Depois de algumas manipulações,

$$\vec{F} = -\nabla\left(e\phi - \frac{e}{c}\vec{v}\cdot\vec{A}\right) + \frac{d}{dt}\left[\nabla_v\left(e\phi - \frac{e}{c}\vec{v}\cdot\vec{A}\right)\right]$$

Ginzburg-Landau com campo magnético

Depois de algumas manipulações,

$$\vec{F} = -\nabla\left(e\phi - \frac{e}{c}\vec{v}\cdot\vec{A}\right) + \frac{d}{dt}\left[\nabla_v\left(e\phi - \frac{e}{c}\vec{v}\cdot\vec{A}\right)\right]$$

$$L = \frac{m}{2}v^2 - e\phi + \frac{e}{c}\vec{v}\cdot\vec{A}$$

$$H = \frac{1}{2m}\left(\vec{p} - \frac{e}{c}\vec{A}\right)^2 + e\phi$$

Ginzburg-Landau com campo magnético

Depois de algumas manipulações,

$$\vec{F} = -\nabla\left(e\phi - \frac{e}{c}\vec{v}\cdot\vec{A}\right) + \frac{d}{dt}\left[\nabla_v\left(e\phi - \frac{e}{c}\vec{v}\cdot\vec{A}\right)\right]$$

$$L = \frac{m}{2}v^2 - e\phi + \frac{e}{c}\vec{v}\cdot\vec{A}$$

$$H = \frac{1}{2m}\left(\vec{p} - \frac{e}{c}\vec{A}\right)^2 + e\phi$$

Eliminando o campo elétrico $\rightarrow \phi = 0$, $\frac{\partial\vec{A}}{\partial t} = 0$:

$$H = \frac{1}{2m}\left(\vec{p} - \frac{e}{c}\vec{A}\right)^2$$

Ginzburg-Landau com campo magnético

$$F[\psi] = F_n[\psi] + \frac{1}{V} \int d^3x \left[a \frac{T - T_c}{T_c} |\psi(\vec{x})|^2 + \frac{b}{2} |\psi(\vec{x})|^4 + \right. \\ \left. + \frac{1}{2m} \left| \left(-i\hbar\nabla - \frac{e}{c} \vec{A}(\vec{x}) \right) \psi(\vec{x}) \right|^2 + \frac{1}{8\pi} \vec{B}^2 \right]$$

Ginzburg-Landau com campo magnético

- Derivada Funcional:

$$\left(\frac{d}{d\epsilon} F[f + \epsilon\sigma] \right)_{\epsilon=0} \equiv \int d^n x \sigma(x) \frac{\delta F}{\delta f(x)}$$

$$\text{Ex.: } F[\vec{A}] = \int d^3 x \vec{A}(\vec{x})$$

$$F[\vec{A} + \epsilon\vec{\sigma}] = \int d^3 x (\vec{A}(\vec{x}) + \epsilon\vec{\sigma}(x)) = \int d^3 x \vec{A}(\vec{x}) + \epsilon \int d^3 x \vec{\sigma}(x)$$

$$\frac{dF[\vec{A} + \epsilon\vec{\sigma}]}{d\epsilon} = \int d^3 x \vec{\sigma}(x)$$

$$\frac{\delta F}{\delta \vec{A}(\vec{x})} = 1$$

Ginzburg-Landau com campo magnético

- Variando a energia em relação a \vec{A} :

$$\frac{1}{4\pi} \nabla \times \vec{B} = \frac{\hbar e}{2mc} \left[\psi^* \left(\frac{1}{i} \nabla - \frac{e}{\hbar c} \vec{A} \right) \psi + \psi \left(-\frac{1}{i} \nabla - \frac{e}{\hbar c} \vec{A} \right) \psi^* \right]$$

$$\nabla \times \vec{B} = \frac{4\pi}{c} \vec{j}$$

Ginzburg-Landau com campo magnético

- Variando a energia em relação a \vec{A} :

$$\frac{1}{4\pi} \nabla \times \vec{B} = \frac{\hbar e}{2mc} \left[\psi^* \left(\frac{1}{i} \nabla - \frac{e}{\hbar c} \vec{A} \right) \psi + \psi \left(-\frac{1}{i} \nabla - \frac{e}{\hbar c} \vec{A} \right) \psi^* \right]$$

$$\nabla \times \vec{B} = \frac{4\pi}{c} \vec{j}$$

Densidade de Supercorrente:

$$\vec{j}_S = \frac{\hbar e}{2m} \left[\psi^* \left(\frac{1}{i} \nabla - \frac{e}{\hbar c} \vec{A} \right) \psi + \psi \left(-\frac{1}{i} \nabla - \frac{e}{\hbar c} \vec{A} \right) \psi^* \right]$$

Ginzburg-Landau com campo magnético

- Variando a energia em relação a ψ :

$$\frac{1}{2m} \left(\frac{\hbar}{i} \nabla - \frac{e}{c} \vec{A} \right)^2 \psi + a \frac{T - T_c}{T_c} \psi + b |\psi|^2 \psi = 0$$

Ginzburg-Landau com campo magnético

- Variando a energia em relação a ψ :

$$\frac{1}{2m} \left(\frac{\hbar}{i} \nabla - \frac{e}{c} \vec{A} \right)^2 \psi + a \frac{T - T_c}{T_c} \psi + b |\psi|^2 \psi = 0$$

Equações de Ginzburg-Landau

Corrente Crítica

- Supercondutor fino, com dependência espacial unidimensional:

$$\psi = \psi_0 e^{iqx}$$

- Assumindo $\vec{A} = 0$, da segunda eq. de G.L:

$$\left(\frac{\hbar q^2}{2m} + a \frac{T - T_c}{T_c} \right) \psi_0 + b \psi_0^3 = 0$$

Corrente Crítica

- Supercondutor fino, com dependência espacial unidimensional:

$$\psi = \psi_0 e^{iqx}$$

- Assumindo $\vec{A} = 0$, da segunda eq. de G.L:

$$\left(\frac{\hbar q^2}{2m} + a \frac{T - T_c}{T_c} \right) \psi_0 + b \psi_0^3 = 0$$

$$\psi_0 = 0$$

$$\psi_0 = \pm \sqrt{\frac{a |T - T_c|}{b T_c} - \frac{\hbar q^2}{2mb}}$$

Corrente Crítica

- Da equação de supercorrente:

$$j_S = e \left(\frac{\hbar q}{m} \right) |\psi_0|^2$$

$$j_S = ev_S \rho_S$$

Corrente Crítica

- Da equação de supercorrente:

$$j_S = e \left(\frac{\hbar q}{m} \right) |\psi_0|^2$$

$$j_S = ev_S \rho_S$$

Como pela segunda eq de G.L, ψ_0 pertence aos Reais,

$$\psi_0 = \pm \sqrt{\frac{a}{b} \frac{|T - T_c|}{T_c} - \frac{\hbar q^2}{2mb}}$$

$$\frac{a}{b} \frac{(T_c - T)}{T_c} \geq \frac{\hbar q^2}{2mb}$$

Corrente Crítica

- Da equação de supercorrente:

$$j_S = e \left(\frac{\hbar q}{m} \right) |\psi_0|^2$$

$$j_S = ev_S \rho_S$$

Como pela segunda eq de G.L, ψ_0 pertence aos Reais,

$$\psi_0 = \pm \sqrt{\frac{a}{b} \frac{|T - T_c|}{T_c} - \frac{\hbar q^2}{2mb}}$$

$$\frac{a}{b} \frac{(T_c - T)}{T_c} \geq \frac{\hbar q^2}{2mb}$$

A corrente pode assumir um valor máximo j_C . Acima desse valor, o metal possui condução normal

Efeito Meissner

- SC homogêneo, tal que a densidade de superfluido possa ser considerada constante no espaço:

$$\psi = \psi_0 e^{i\phi(\vec{x})}$$

Efeito Meissner

- SC homogêneo, tal que a densidade de superfluido possa ser considerada constante no espaço:

$$\psi = \psi_0 e^{i\phi(\vec{x})}$$

Inserindo na eq. de supercorrente:

$$\vec{j}_S = \frac{\hbar e}{m} \rho_S \left[\nabla \phi(\vec{x}) - \frac{e}{\hbar c} \vec{A} \right]$$

Efeito Meissner

- SC homogêneo, tal que a densidade de superfluido possa ser considerada constante no espaço:

$$\psi = \psi_0 e^{i\phi(\vec{x})}$$

Inserindo na eq. de supercorrente:

$$\vec{j}_S = \frac{\hbar e}{m} \rho_S \left[\nabla \phi(\vec{x}) - \frac{e}{\hbar c} \vec{A} \right]$$

Aplicando $\nabla \times$ na eq. anterior:

$$\nabla \times \vec{j}_S = -\frac{e^2}{mc} \rho_S \vec{B}$$

$$\frac{4\pi}{c} \nabla \times \vec{j}_S = -\frac{4\pi e^2}{mc^2} \rho_S \vec{B}$$

Efeito Meissner

- Lembrando que $\frac{4\pi}{c}\vec{j} = \nabla \times \vec{B}$, temos:

$$\nabla^2 \vec{B} = \frac{1}{\lambda_L^2} \vec{B}$$

Efeito Meissner

- Lembrando que $\frac{4\pi}{c}\vec{j} = \nabla \times \vec{B}$, temos:

$$\nabla^2 \vec{B} = \frac{1}{\lambda_L^2} \vec{B}$$

Onde

$$\lambda_L \equiv \sqrt{\frac{mc^2}{4\pi e^2 \rho_S}} \rightarrow \text{Profundidade de penetração de London}$$

Efeito Meissner

- Lembrando que $\frac{4\pi}{c}\vec{j} = \nabla \times \vec{B}$, temos:

$$\nabla^2 \vec{B} = \frac{1}{\lambda_L^2} \vec{B}$$

Onde

$$\lambda_L \equiv \sqrt{\frac{mc^2}{4\pi e^2 \rho_S}} \rightarrow \text{Profundidade de penetração de London}$$

Solução 1D simples:

$$B(x) = B_0 e^{-\frac{x}{\lambda_L}}$$

→ Quanto menor λ_L , mais “rápido” cai o valor de B dentro da amostra.

Revisão: BEC

Revisão da idéia de BEC →

Revisão: BEC

Revisão da idéia de BEC \rightarrow gás ideal de Bose $\frac{\hbar^2 k^2}{2m}$

Revisão: BEC

Revisão da idéia de BEC \rightarrow gás ideal de Bose $\frac{\hbar^2 k^2}{2m}$

$$\ln \mathcal{Z}(T, V, \mu) = - \sum_j \ln \left(1 - \exp \left[-\beta(\epsilon_j - \mu) \right] \right)$$

$$\langle n_j \rangle = \frac{1}{\exp[\beta(\epsilon_j - \mu)] - 1}$$

$$N = \sum_j \langle n_j \rangle$$

$$U = \sum_j \epsilon_j \langle n_j \rangle$$

Revisão: BEC

Revisão da idéia de BEC \rightarrow gás ideal de Bose $\frac{\hbar^2 k^2}{2m}$

$$\ln \mathcal{Z}(T, V, \mu) = - \sum_j \ln \left(1 - \exp \left[-\beta(\epsilon_j - \mu) \right] \right)$$

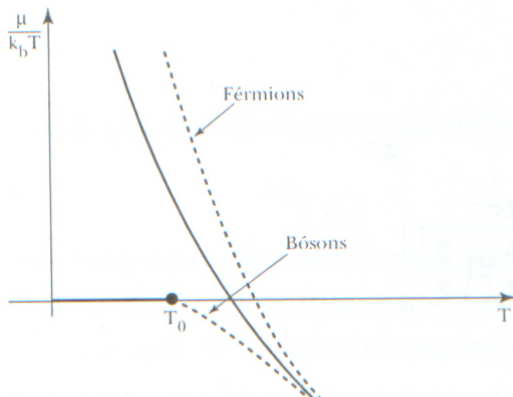
$$\langle n_j \rangle = \frac{1}{\exp[\beta(\epsilon_j - \mu)] - 1}$$

$$N = \sum_j \langle n_j \rangle$$

$$U = \sum_j \epsilon_j \langle n_j \rangle$$

Revisão: BEC

$$\frac{\mu}{kT} = \ln \left[\frac{1}{\gamma} \left(\frac{2\pi\hbar^2}{mk} \right)^{\frac{3}{2}} \right] + \ln \left(\frac{N}{V} \right) - \frac{3}{2} \ln T$$



Revisão: Estatística de Bose-Einstein

fazendo $\mu = 0$ no limite termodinâmico:

$$T_0 = \frac{\hbar^2}{2mk} \left[\frac{4\pi^2}{\gamma \Gamma(\frac{3}{2}) \zeta(\frac{3}{2})} \right]^{\frac{2}{3}} \left(\frac{N}{V} \right)^{\frac{2}{3}}$$

Revisão: Estatística de Bose-Einstein

fazendo $\mu = 0$ no limite termodinâmico:

$$T_0 = \frac{\hbar^2}{2mk} \left[\frac{4\pi^2}{\gamma \Gamma(\frac{3}{2}) \zeta(\frac{3}{2})} \right]^{\frac{2}{3}} \left(\frac{N}{V} \right)^{\frac{2}{3}}$$

$T_0 \rightarrow$ Temperatura de Bose-Einstein

Revisão: Estatística de Bose-Einstein

fazendo $\mu = 0$ no limite termodinâmico:

$$T_0 = \frac{\hbar^2}{2mk} \left[\frac{4\pi^2}{\gamma \Gamma(\frac{3}{2}) \zeta(\frac{3}{2})} \right]^{\frac{2}{3}} \left(\frac{N}{V} \right)^{\frac{2}{3}}$$

$T_0 \rightarrow$ Temperatura de Bose-Einstein

$$N_0 = N \left[1 - \left(\frac{T}{T_0} \right)^{\frac{2}{3}} \right]$$

Revisão: Estatística de Bose-Einstein

fazendo $\mu = 0$ no limite termodinâmico:

$$T_0 = \frac{\hbar^2}{2mk} \left[\frac{4\pi^2}{\gamma \Gamma(\frac{3}{2}) \zeta(\frac{3}{2})} \right]^{\frac{2}{3}} \left(\frac{N}{V} \right)^{\frac{2}{3}}$$

$T_0 \rightarrow$ Temperatura de Bose-Einstein

$$N_0 = N \left[1 - \left(\frac{T}{T_0} \right)^{\frac{2}{3}} \right]$$

$N_0 \rightarrow$ Número de partículas no condensado de Bose-Einstein

Revisão: Estatística de Fermi-Dirac

$$\ln \mathcal{Z}(T, V, \mu) = \sum_j \ln \left(1 + \exp \left[-\beta(\epsilon_j - \mu) \right] \right)$$

$$\langle n_j \rangle = \frac{1}{\exp[\beta(\epsilon_j - \mu)] + 1}$$

Revisão: Estatística de Fermi-Dirac

$$\ln \mathcal{Z}(T, V, \mu) = \sum_j \ln \left(1 + \exp \left[-\beta(\epsilon_j - \mu) \right] \right)$$

$$\langle n_j \rangle = \frac{1}{\exp[\beta(\epsilon_j - \mu)] + 1}$$

$$N = \sum_j \langle n_j \rangle$$

Revisão: Estatística de Fermi-Dirac

$$\ln \mathcal{Z}(T, V, \mu) = \sum_j \ln \left(1 + \exp \left[-\beta(\epsilon_j - \mu) \right] \right)$$

$$\langle n_j \rangle = \frac{1}{\exp[\beta(\epsilon_j - \mu)] + 1}$$

$$N = \sum_j \langle n_j \rangle$$

$$U = \sum_j \epsilon_j \langle n_j \rangle$$

Revisão: Estatística de Fermi-Dirac

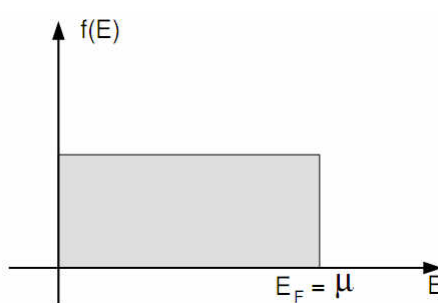
- Gás de Fermi completamente degenerado: $\beta \rightarrow \infty$

Revisão: Estatística de Fermi-Dirac

- Gás de Fermi completamente degenerado: $\beta \rightarrow \infty$
- Energia de Fermi = potencial químico em $T = 0$

Revisão: Estatística de Fermi-Dirac

- Gás de Fermi completamente degenerado: $\beta \rightarrow \infty$
- Energia de Fermi = potencial químico em $T = 0$



$$\epsilon_F = \frac{\hbar^2}{2m} \left(\frac{6\pi^2}{\gamma} \right)^{\frac{2}{3}} \left(\frac{N}{V} \right)^{\frac{2}{3}}$$

$$\epsilon_F = k_b T_F$$

$$T_F = \frac{\hbar^2}{2mk_b} \left(\frac{6\pi^2}{\gamma} \right)^{\frac{2}{3}} \left(\frac{N}{V} \right)^{\frac{2}{3}}$$

Revisão: Estatística de Fermi-Dirac

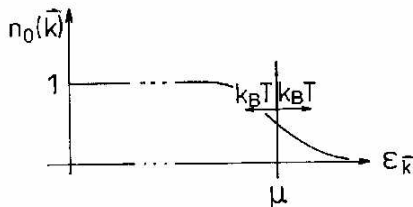
- Gás de Fermi degenerado: $T \ll T_F$

Revisão: Estatística de Fermi-Dirac

- Gás de Fermi degenerado: $T \ll T_F$
- Alguns elétrons abaixo da ϵ_F são excitados para estados com energia $> \epsilon_F$

Revisão: Estatística de Fermi-Dirac

- Gás de Fermi degenerado: $T \ll T_F$
- Alguns elétrons abaixo da ϵ_F são excitados para estados com energia $> \epsilon_F$



$$U = \gamma VC \left[\frac{2}{5} \mu^{\frac{5}{2}} + \frac{\pi^2}{4} (k_b T)^2 \mu^{\frac{1}{2}} + \dots \right]$$

$$\mu = \epsilon_F \left[1 - \frac{\pi^2}{12} \left(\frac{T}{T_c} \right)^2 + \dots \right]$$

Acoplamento elétron-Fônon

- Efeito isótopo dá pistas de que os fônons da rede cristalina têm importante papel na SC.

Acoplamento elétron-Fônon

- Efeito isótopo dá pistas de que os fônons da rede cristalina têm importante papel na SC.

Hamiltoniana de Frölich:

$$H_F = H_e + H_p + H_{ep}$$

$$H_e = \sum_k \epsilon(\vec{k}) f_k^\dagger f_{\vec{k}}$$

$$H_p = \sum_q \hbar\omega_{\vec{q}} \left(b_{\vec{q}}^\dagger b_{\vec{q}} + \frac{1}{2} \right)$$

Acoplamento elétron-Fônon

- Consideramos que os fônons produzem uma alteração local na densidade iônica e que se acoplam à densidade de elétrons

Acoplamento elétron-Fônon

- Consideramos que os fônons produzem uma alteração local na densidade iônica e que se acoplam à densidade de elétrons

Mudança no potencial iônico \rightarrow descrito pelo campo $D(\vec{x})$

$$H_{ep} = \int d^3x \hat{\psi}_\alpha^\dagger(\vec{x}) D(\vec{x}) \hat{\psi}_\alpha(\vec{x})$$

Acoplamento elétron-Fônon

- Consideramos que os fônons produzem uma alteração local na densidade iônica e que se acoplam à densidade de elétrons

Mudança no potencial iônico \rightarrow descrito pelo campo $D(\vec{x})$

$$H_{ep} = \int d^3x \hat{\psi}_\alpha^\dagger(\vec{x}) D(\vec{x}) \hat{\psi}_\alpha(\vec{x})$$

Mudança na densidade iônica \rightarrow campos de deslocamento $\vec{u}(\vec{x})$:

$D(\vec{x}) = \nabla \cdot \vec{u}(\vec{x})$ dilatações e contrações locais

$$\left(\nabla^2 - \frac{1}{c^2} \frac{\partial^2}{\partial t^2} \right) \vec{u}(\vec{x}) = 0$$

Acoplamento elétron-Fônon

Em analogia à quantização do campo de Klein-Gordon:

$$\hat{\phi}(\vec{x}, t) = \int \frac{d^3p}{\sqrt{2\omega_p}(2\pi)^3} \left(\hat{a}_p e^{i(p\vec{x} - \omega_p t)} + \hat{a}_p^\dagger e^{-i(p\vec{x} - \omega_p t)} \right)$$

$$[\hat{a}_p, \hat{a}_{p'}^\dagger] = \delta(\vec{p} - \vec{p}')$$

Acoplamento elétron-Fônon

Em analogia à quantização do campo de Klein-Gordon:

$$\hat{\phi}(\vec{x}, t) = \int \frac{d^3 p}{\sqrt{2\omega_p}(2\pi)^3} \left(\hat{a}_p e^{i(p\vec{x} - \omega_p t)} + \hat{a}_p^\dagger e^{-i(p\vec{x} - \omega_p t)} \right)$$

$$[\hat{a}_p, \hat{a}_{p'}^\dagger] = \delta(\vec{p} - \vec{p}')$$

Na caixa:

$$\int \frac{d^3 p}{\sqrt{(2\pi)^3}} \rightarrow \frac{1}{L^3} \sum_{\vec{l}}$$

$$[\hat{a}_{p_l}, \hat{a}_{p_{l'}}^\dagger] = \delta_{ll'}$$

Acoplamento elétron-Fônon

$$\vec{u}(\vec{x}) = \frac{1}{\sqrt{N}} \sum_{\vec{q}} \frac{\vec{q}}{|\vec{q}|} \left(\frac{\hbar}{2m\omega_{\vec{q}}} \right)^{\frac{1}{2}} \left(\hat{b}_{\vec{q}} e^{i\vec{q}\cdot\vec{x}} + \hat{b}_{\vec{q}}^{\dagger} e^{-i\vec{q}\cdot\vec{x}} \right)$$

O campo D é então dado por (com $\omega_{\vec{q}} = v_S q$):

$$\vec{D}(\vec{x}) = \frac{i}{\sqrt{N}} \sum_{\vec{q}} \left(\frac{\hbar q}{2Mv_S} \right)^{\frac{1}{2}} \left[\hat{b}_{\vec{q}} e^{i\vec{q}\cdot\vec{x}} - \hat{b}_{\vec{q}}^{\dagger} e^{-i\vec{q}\cdot\vec{x}} \right]$$

Acoplamento elétron-Fônon

$$\vec{u}(\vec{x}) = \frac{1}{\sqrt{N}} \sum_{\vec{q}} \frac{\vec{q}}{|\vec{q}|} \left(\frac{\hbar}{2m\omega_{\vec{q}}} \right)^{\frac{1}{2}} \left(\hat{b}_{\vec{q}} e^{i\vec{q}\cdot\vec{x}} + \hat{b}_{\vec{q}}^{\dagger} e^{-i\vec{q}\cdot\vec{x}} \right)$$

O campo D é então dado por (com $\omega_{\vec{q}} = v_S q$):

$$\vec{D}(\vec{x}) = \frac{i}{\sqrt{N}} \sum_{\vec{q}} \left(\frac{\hbar q}{2Mv_S} \right)^{\frac{1}{2}} \left[\hat{b}_{\vec{q}} e^{i\vec{q}\cdot\vec{x}} - \hat{b}_{\vec{q}}^{\dagger} e^{-i\vec{q}\cdot\vec{x}} \right]$$

Operadores de campo eletrônico em termos de estados de Bloch:

$$\begin{aligned} \hat{\psi}_{\alpha}(\vec{x}) &= \sum_{\vec{k}} f_{\vec{k}\alpha} u_{\vec{k}}(\vec{x}) e^{i\vec{k}\cdot\vec{x}} \\ \hat{\psi}_{\beta}(\vec{x})^{\dagger} &= \sum_{\vec{k}} f_{\vec{k}\beta} u_{\vec{k}}(\vec{x})^* e^{-i\vec{k}\cdot\vec{x}} \end{aligned}$$

Acoplamento elétron-Fônon

$$\begin{aligned}
 H_{ep} = & \int d^3x \left(\sum_k f_{\vec{k}\alpha} u_{\vec{k}}(\vec{x}) e^{ikx} \right) \times \\
 & \times \left(\frac{i}{\sqrt{N}} \sum_{\vec{q}} \left(\frac{\hbar q}{2Mv_S} \right)^{\frac{1}{2}} \left[\hat{b}_{\vec{q}} e^{iqx} - \hat{b}_{\vec{q}}^\dagger e^{-iqx} \right] \right) \times \\
 & \times \left(\sum_{k'} f_{\vec{k}'\beta} u_{\vec{k}'}(\vec{x})^* e^{-ik'x} \right)
 \end{aligned}$$

Acoplamento elétron-Fônon

$$H_{ep} =$$

$$= \frac{i}{\sqrt{N}} \sum_{\vec{q}} \left(\frac{\hbar q}{2Mv_S} \right)^{\frac{1}{2}} \left[\sum_{kk'} f_{\vec{k}'\alpha} f_{\vec{k}'\alpha}^\dagger \int d^3x u_{\vec{k}}(\vec{x}) u_{\vec{k}'}(\vec{x})^* e^{i(q+k+k')x} b_{\vec{q}} \right] +$$

$$- \frac{i}{\sqrt{N}} \sum_{\vec{q}} \left(\frac{\hbar q}{2Mv_S} \right)^{\frac{1}{2}} \left[\sum_{kk'} f_{\vec{k}'\alpha} f_{\vec{k}'\alpha}^\dagger \int d^3x u_{\vec{k}}(\vec{x}) u_{\vec{k}'}(\vec{x})^* e^{-i(q-k+k')x} b_{\vec{q}}^\dagger \right]$$

Acoplamento elétron-Fônon

Funções de Wannier:

$$\hat{\phi}_R(r) = \frac{1}{\sqrt{N}} \sum_k e^{-ikR} \hat{\psi}_k(r)$$

$$\phi_R(r) = \phi_{R+R'}(r + R')$$

$$\phi(r - R) \equiv \phi_R(r)$$

Acoplamento elétron-Fônon

Funções de Wannier:

função de Wannier $\leftarrow \hat{\phi}_R(r) = \frac{1}{\sqrt{N}} \sum_k e^{-ikR} \hat{\psi}_k(r) \rightarrow$ função de Bloch

$$\phi_R(r) = \phi_{R+R'}(r + R')$$

$$\phi(r - R) \equiv \phi_R(r)$$

Acoplamento elétron-Fônon

Reescrevendo a hamiltoniana:

$$H_{ep} = i \sum_{\vec{k}, \vec{q}} D_{\vec{q}} \left(b_{\vec{q}} f_{\vec{k}+\vec{q}, \alpha}^{\dagger} f_{\vec{k}, \alpha} - b_{\vec{q}}^{\dagger} f_{\vec{k}-\vec{q}, \alpha}^{\dagger} f_{\vec{k}, \alpha} \right)$$

Definindo o operador densidade eletrônica:

$$\rho_{\vec{q}} \sum_{\vec{k}} f_{\vec{k}-\vec{q}, \alpha}^{\dagger} f_{\vec{k}, \alpha} = \rho_{-\vec{q}}^{\dagger}$$

$$H_F = \sum_{\vec{k}} \epsilon(\vec{k}) f_{\vec{k}}^{\dagger} f_{\vec{k}} + \sum_{\vec{q}} \hbar \omega_{\vec{q}} \left(b_{\vec{q}}^{\dagger} b_{\vec{q}} + \frac{1}{2} \right) + i \sum_{\vec{k}, \vec{q}} D_{\vec{q}} \left(b_{\vec{q}} \rho_{\vec{q}}^{\dagger} - b_{\vec{q}}^{\dagger} \rho_{\vec{q}} \right)$$

Interação Elétron-Elétron Efetiva

- Extrair interação elétron-elétron da interação elétron-fônon

Definindo um operador anti-unitário S , para que e^S seja unitário, e a transformação

$$\tilde{H}_F = e^{-S} H_F e^S$$

seja unitária.

Interação Elétron-Elétron Efetiva

- Extrair interação elétron-elétron da interação elétron-fônon

Definindo um operador anti-unitário S , para que e^S seja unitário, e a transformação

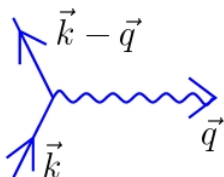
$$\tilde{H}_F = e^{-S} H_F e^S$$

seja unitária.

Expandindo:

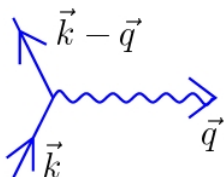
$$\tilde{H}_F = H_F + [H_F, S] + \frac{1}{2!} [[H_F, S], S] + \frac{1}{3!} [[[H_F, S], S], S] + \dots$$

Interação Elétron-Elétron Efetiva

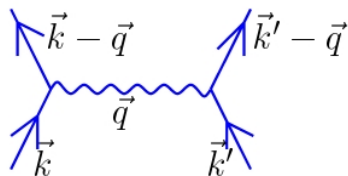


Fônon criado ou aniquilado no espalhamento

Interação Elétron-Elétron Efetiva

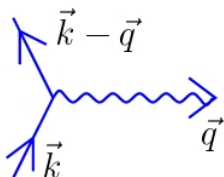


Fônon criado ou aniquilado no espalhamento



Fônon criado interage com outro elétron

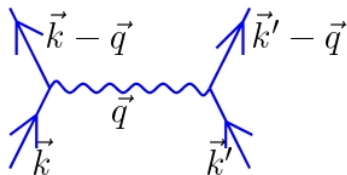
Interação Elétron-Elétron Efetiva



Fônon criado ou aniquilado no espalhamento

Processo ocorre apenas em segunda ordem na interação elétron-fônon →

Eliminar contribuições de primeira ordem



Fônon criado interage com outro elétron

Interação Elétron-Elétron Efetiva

$$H_F = H_0 + \lambda H_{ep}$$

$$\tilde{H}_F = H_0 + \lambda H_{ep} + [H_0, S] + \lambda [H_{ep}, S] + \frac{1}{2} [[H_0 + \lambda H_{ep}, S], S] + \dots$$

Impondo $\lambda H_{ep} + [H_0, S] = 0$, e calculando os elementos de matriz nos autoestados $|m\rangle$ de H_0 :

$$\lambda \langle n | H_{ep} | m \rangle = \langle n | [S, H_0] | m \rangle$$

$$\langle n | S | m \rangle = \lambda \frac{\langle n | H_{ep} | m \rangle}{E_m - E_n}$$

Interação Elétron-Elétron Efetiva

Na próxima ordem não-nula:

$$\lambda[H_{ep}, S] + \frac{1}{2}[[H_0 + \lambda H_{ep}, S], S] = \lambda[H_{ep}, S] - \frac{\lambda}{2}[H_{ep}, S]$$

Interação Elétron-Elétron Efetiva

Na próxima ordem não-nula:

$$\lambda[H_{ep}, S] + \frac{1}{2}[[H_0 + \lambda H_{ep}, S], S] = \lambda[H_{ep}, S] - \frac{\lambda}{2}[H_{ep}, S]$$

$$\langle n | [H_{ep}, S] | m \rangle = ?$$

Interação Elétron-Elétron Efetiva

Na próxima ordem não-nula:

$$\lambda[H_{ep}, S] + \frac{1}{2}[[H_0 + \lambda H_{ep}, S], S] = \lambda[H_{ep}, S] - \frac{\lambda}{2}[H_{ep}, S]$$

$$\langle n | [H_{ep}, S] | m \rangle = ?$$

$$\langle n | H_{ep} S | m \rangle = \sum_l \langle n | H_{ep} | l \rangle \langle l | S | m \rangle$$

Interação Elétron-Elétron Efetiva

Na próxima ordem não-nula:

$$\lambda[H_{ep}, S] + \frac{1}{2}[[H_0 + \lambda H_{ep}, S], S] = \lambda[H_{ep}, S] - \frac{\lambda}{2}[H_{ep}, S]$$

$$\langle n | [H_{ep}, S] | m \rangle = ?$$

$$\langle n | H_{ep} S | m \rangle = \sum_l \langle n | H_{ep} | l \rangle \langle l | S | m \rangle$$

$$\langle n | H_{ep} S | m \rangle = \lambda \sum_l \frac{\langle n | H_{ep} | l \rangle \langle l | H_{ep} | m \rangle}{(E_l - E_m)}$$

Interação Elétron-Elétron Efetiva

- considerando estados com zero fônons (fenômeno de baixa temperatura):

$$\langle n | H_{ep} S | m \rangle \rightarrow \frac{\langle 0 | H_{ep} | 1q \rangle \langle 1q | H_{ep} | 0 \rangle}{(E_m - E_l)} =$$

$$= D_q^2 \sum_{kk'} f_{k'}^\dagger f_{k'-q} f_{k'-q}^\dagger f_k \frac{1}{\epsilon_k - \epsilon_{k-q} - \hbar\omega_q}$$

$$\langle n | S H_{ep} | m \rangle = D_q^2 \sum_{kk'} f_{k'}^\dagger f_{k'-q} f_{k'-q}^\dagger f_k \frac{1}{\epsilon_k - \epsilon_{k-q} + \hbar\omega_q}$$

Interação Elétron-Elétron Efetiva

- considerando estados com zero fônons (fenômeno de baixa temperatura):

$$\langle n | H_{ep} S | m \rangle \rightarrow \frac{\langle 0 | H_{ep} | 1q \rangle \langle 1q | H_{ep} | 0 \rangle}{(E_m - E_l)} =$$

$$= D_q^2 \sum_{kk'} f_{k'}^\dagger f_{k'-q} f_{k'-q}^\dagger f_k \frac{1}{\epsilon_k - \epsilon_{k-q} - \hbar\omega_q}$$

$$\langle n | S H_{ep} | m \rangle = D_q^2 \sum_{kk'} f_{k'}^\dagger f_{k'-q} f_{k'-q}^\dagger f_k \frac{1}{\epsilon_k - \epsilon_{k-q} + \hbar\omega_q}$$

Interação Elétron-Elétron Efetiva

Somando todas as contribuições:

$$H_{ep} = \sum_{\vec{q}, \vec{k}, \vec{k}'} W_{\vec{k}\vec{q}} f_{\vec{k}'}^\dagger f_{\vec{k}-\vec{q}}^\dagger f_{\vec{k}} f_{\vec{k}'+\vec{q}}$$

Interação Elétron-Elétron Efetiva

Somando todas as contribuições:

$$H_{ep} = \sum_{\vec{q}, \vec{k}, \vec{k}'} W_{\vec{k}\vec{q}} f_{\vec{k}}^{\dagger} f_{\vec{k}' - \vec{q}}^{\dagger} f_{\vec{k}' - \vec{q}} f_{\vec{k}}$$

$$W_{\vec{k}\vec{q}} = \frac{D_q^2 \hbar \omega_{\vec{q}}}{(\epsilon_{\vec{k}} - \epsilon_{\vec{k} + \vec{q}})^2 - \hbar^2 \omega_{\vec{q}}^2}$$

Interação Elétron-Elétron Efetiva

Somando todas as contribuições:

$$H_{ep} = \sum_{\vec{q}, \vec{k}, \vec{k}'} W_{\vec{k}\vec{q}} f_{\vec{k}}^{\dagger} f_{\vec{k}'} f_{\vec{k}'}^{\dagger} f_{\vec{k}-\vec{q}}$$

$$W_{\vec{k}\vec{q}} = \frac{D_q^2 \hbar \omega_{\vec{q}}}{(\epsilon_{\vec{k}} - \epsilon_{\vec{k}+\vec{q}})^2 - \hbar^2 \omega_{\vec{q}}^2}$$

- significa que para uma pequena região ao redor da energia de Fermi com $|\epsilon_{\vec{k}} - \epsilon_{\vec{k}+\vec{q}}| < \hbar \omega_{\vec{q}}$ uma interação atrativa entre elétrons ocorre.

Interação Elétron-Elétron Efetiva

Somando todas as contribuições:

$$H_{ep} = \sum_{\vec{q}, \vec{k}, \vec{k}'} W_{\vec{k}\vec{q}} f_{\vec{k}}^{\dagger} f_{\vec{k}'}^{\dagger} f_{\vec{k}'} f_{\vec{k}-\vec{q}}$$

$$W_{\vec{k}\vec{q}} = \frac{D_q^2 \hbar \omega_{\vec{q}}}{(\epsilon_{\vec{k}} - \epsilon_{\vec{k}+\vec{q}})^2 - \hbar^2 \omega_{\vec{q}}^2}$$

- significa que para uma pequena região ao redor da energia de Fermi com $|\epsilon_{\vec{k}} - \epsilon_{\vec{k}+\vec{q}}| < \hbar \omega_{\vec{q}}$ uma interação atrativa entre elétrons ocorre.
- Novo estado ligado entre férmions surge \rightarrow Pares de Cooper.

Teoria BCS

- Ordem de grandeza do par de cooper: $\approx 10^{-4} \text{ cm} = 10^4$ ângstrons
- estimativa do espaço ocupado por um elétron: $\approx (2A)^3$
- $\approx 10^{11}$ elétrons

Teoria BCS

- Ordem de grandeza do par de cooper: $\approx 10^{-4} \text{ cm} = 10^4$ ângstrons
- estimativa do espaço ocupado por um elétron: $\approx (2A)^3$
- $\approx 10^{11}$ elétrons
- É inviável construir funções de onda para cada par de elétrons.

Teoria BCS

- Ordem de grandeza do par de cooper: $\approx 10^{-4} \text{ cm} = 10^4$ ângstrons
- estimativa do espaço ocupado por um elétron: $\approx (2A)^3$
- $\approx 10^{11}$ elétrons
- É inviável construir funções de onda para cada par de elétrons.

$$H_{\text{BCS}} = \sum_{\vec{k}, \sigma} f_{\vec{k}, \sigma}^\dagger f_{\vec{k}, \sigma} + \frac{1}{2} \sum_{\vec{k}, \vec{k}'} W_{\vec{k}\vec{k}'} f_{\vec{k}}^\dagger f_{-\vec{k}}^\dagger f_{-\vec{k}'} f_{\vec{k}'}$$

Teoria BCS

- Ordem de grandeza do par de cooper: $\approx 10^{-4} \text{ cm} = 10^4$ ângstrons
- estimativa do espaço ocupado por um elétron: $\approx (2A)^3$
- $\approx 10^{11}$ elétrons
- É inviável construir funções de onda para cada par de elétrons.

$$H_{\text{BCS}} = \sum_{\vec{k}, \sigma} f_{\vec{k}, \sigma}^\dagger f_{\vec{k}, \sigma} + \frac{1}{2} \sum_{\vec{k}, \vec{k}'} W_{\vec{k}\vec{k}'} f_{\vec{k}}^\dagger f_{-\vec{k}}^\dagger f_{-\vec{k}'} f_{\vec{k}'}$$

$$W_{\vec{k}\vec{k}'} < 0 \text{ para } |\epsilon(\vec{k}) - \epsilon_F| < \frac{\delta}{2} \text{ e } |\epsilon(\vec{k}') - \epsilon_F| < \frac{\delta}{2}$$

Teoria BCS

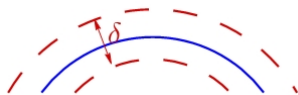
- Ordem de grandeza do par de cooper: $\approx 10^{-4} \text{ cm} = 10^4$ ângstrons
- estimativa do espaço ocupado por um elétron: $\approx (2A)^3$
- $\approx 10^{11}$ elétrons
- É inviável construir funções de onda para cada par de elétrons.

$$H_{\text{BCS}} = \sum_{\vec{k}, \sigma} f_{\vec{k}, \sigma}^\dagger f_{\vec{k}, \sigma} + \frac{1}{2} \sum_{\vec{k}, \vec{k}'} W_{kk'} f_{\vec{k}}^\dagger f_{-\vec{k}}^\dagger f_{-\vec{k}'} f_{\vec{k}'}$$

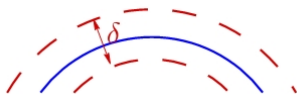
$$W_{kk'} < 0 \text{ para } |\epsilon(\vec{k}) - \epsilon_F| < \frac{\delta}{2} \text{ e } |\epsilon(\vec{k}') - \epsilon_F| < \frac{\delta}{2}$$

$$W_{kk'} = 0 \text{ para todos os outros casos}$$

Teoria BCS



Teoria BCS



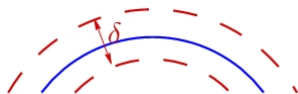
Para simplificar os cálculos com a hamiltoniana de interação:

$$f_{-k} f_k = \langle f_{-k} f_k \rangle + (f_{-k} f_k - \langle f_{-k} f_k \rangle)$$

$$f_k^\dagger f_{-k}^\dagger = \langle f_k^\dagger f_{-k}^\dagger \rangle + (f_k^\dagger f_{-k}^\dagger - \langle f_k^\dagger f_{-k}^\dagger \rangle)$$

$$\psi_k \equiv \langle f_{-k} f_k \rangle$$

Teoria BCS



Para simplificar os cálculos com a hamiltoniana de interação:

$$f_{-k} f_k = \langle f_{-k} f_k \rangle + (f_{-k} f_k - \langle f_{-k} f_k \rangle)$$

$$f_k^\dagger f_{-k}^\dagger = \langle f_k^\dagger f_{-k}^\dagger \rangle + (f_k^\dagger f_{-k}^\dagger - \langle f_k^\dagger f_{-k}^\dagger \rangle)$$

$$\psi_k \equiv \langle f_{-k} f_k \rangle$$

Aproximação: desprezar termos quadráticos na flutuação

$$H_{\text{BCS}} - \mu \hat{N} \approx \sum_k [\epsilon(\vec{k}) - \mu] f_k^\dagger f_k + \frac{1}{2} \sum_{kk'} W_{kk'} (f_k^\dagger f_{-k}^\dagger \psi_{k'} + \psi_k^* f_{-k'} f_{k'} - \psi_k^* \psi_{k'})$$

Teoria BCS

Diagonalização: transformação de Bogoliubov

$$f_k = u_k \gamma_k + v_k \gamma_{-k}^\dagger$$

$$f_k = u_k \gamma_k + v_k \gamma_{-k}^\dagger$$

com

$$u_k = u_{-k} \qquad \{\gamma_k, \gamma_{k'}^\dagger\} = \delta_{kk'}$$

$$v_k = -v_{-k} \qquad \{\gamma_k, \gamma_{k'}\} = \{\gamma_k^\dagger, \gamma_{k'}^\dagger\} = 0$$

$$u_k^2 + v_k^2 = 1$$

Teoria BCS

$$\begin{aligned}
 H_{\text{BCS}} - \mu N = & \sum_k \left([\epsilon(\vec{k}) - \mu](u_k^2 - v_k^2) - 2 \sum_{k'} W_{kk'} \psi_{k'} u_k v_k \right) \gamma_k^\dagger \gamma_k + \\
 & + \sum_k \left([\epsilon(\vec{k}) - \mu] u_k v_k + \frac{1}{2} \sum_{k'} W_{kk'} \psi_{k'} (u_k^2 - v_k^2) \right) (\gamma_k^\dagger \gamma_{-k}^\dagger + \gamma_{-k} \gamma_k)
 \end{aligned}$$

Teoria BCS

$$H_{\text{BCS}} - \mu N = \sum_k \left([\epsilon(\vec{k}) - \mu](u_k^2 - v_k^2) - 2 \sum_{k'} W_{kk'} \psi_{k'} u_k v_k \right) \gamma_k^\dagger \gamma_k +$$

$$+ \sum_k \left([\epsilon(\vec{k}) - \mu] u_k v_k + \frac{1}{2} \sum_{k'} W_{kk'} \psi_{k'} (u_k^2 - v_k^2) \right) (\gamma_k^\dagger \gamma_{-k}^\dagger + \gamma_{-k} \gamma_k)$$

Definindo

$$[\epsilon(\vec{k}) - \mu] u_k v_k \equiv -\frac{1}{2} \sum_{k'} W_{kk'} \psi_{k'} (u_k^2 - v_k^2)$$

o termo não-diagonal é eliminado.

Teoria BCS

Definindo

$$\Delta_k = - \sum_{k'} W_{kk'} \psi_{k'}$$

Temos que resolver o sistema

$$\begin{aligned} [\epsilon(\vec{k}) - \mu] u_k v_k &= \Delta_k (u_k^2 - v_k^2) \\ u_k^2 + v_k^2 &= 1 \end{aligned}$$

Teoria BCS

Definindo

$$\Delta_k = - \sum_{k'} W_{kk'} \psi_{k'}$$

Temos que resolver o sistema

$$\begin{aligned} [\epsilon(\vec{k}) - \mu] u_k v_k &= \Delta_k (u_k^2 - v_k^2) \\ u_k^2 + v_k^2 &= 1 \end{aligned}$$

Para facilitar,

$$\begin{aligned} u_k &= \cos \phi_k \\ v_k &= \sin \phi_k \end{aligned}$$

Teoria BCS

Definindo

$$\Delta_k = - \sum_{k'} W_{kk'} \psi_{k'}$$

Temos que resolver o sistema

$$\begin{aligned} [\epsilon(\vec{k}) - \mu] u_k v_k &= \Delta_k (u_k^2 - v_k^2) \\ u_k^2 + v_k^2 &= 1 \end{aligned}$$

Para facilitar,

$$\begin{aligned} u_k &= \cos \phi_k \\ v_k &= \sin \phi_k \end{aligned}$$

Teoria BCS

$$\cos 2\phi_k = u_k^2 - v_k^2 = \pm \frac{\epsilon(\vec{k}) - \mu}{E_k}$$

$$\sin 2\phi_k = u_k v_k = \pm \frac{\Delta_k}{E_k}$$

$$E_k = \sqrt{[\epsilon(\vec{k}) - \mu]^2 + \Delta_k^2}$$

Teoria BCS

$$\cos 2\phi_k = u_k^2 - v_k^2 = \pm \frac{\epsilon(\vec{k}) - \mu}{E_k}$$
$$\sin 2\phi_k = u_k v_k = \pm \frac{\Delta_k}{E_k}$$

$$E_k = \sqrt{[\epsilon(\vec{k}) - \mu]^2 + \Delta_k^2}$$

Finalmente,

$$\tilde{H} = \sum_k E_k \gamma_k^\dagger \gamma_k$$

Portanto o espectro das quase-partículas possui um gap Δ_k .

Teoria BCS

No estado fundamental:

$$\gamma_k |0\rangle = 0$$

$$\psi_k = \langle f_{-k} f_k \rangle = \frac{\Delta_k}{E_k}$$

$$\Delta_k = -\frac{1}{2} \sum_{k'} W_{kk'} \frac{\Delta_{k'}}{E_{k'}}$$

Teoria BCS

Definindo $\xi_k \equiv \epsilon(\vec{k}) - \mu$,

$$W_{kk'} = -\frac{\lambda}{V} \theta(\hbar\omega_D - |\xi_k|) \theta(\hbar\omega_D - |\xi_{k'}|)$$

$$\Delta_k = \frac{\lambda}{2V} \sum_{k'} \theta(\hbar\omega_D - |\xi_k|) \theta(\hbar\omega_D - |\xi_{k'}|) \frac{\Delta_{k'}}{E_{k'}}$$

com uma solução $\Delta_k = \Delta \theta(\hbar\omega_D - |\xi_k|)$,

$$1 = \frac{\lambda}{2V} \sum_k \frac{\theta(\hbar\omega_D - |\xi_k|)}{\sqrt{\Delta^2 + \xi_k^2}}$$

Teoria BCS

Usando o limite contínuo:

$$\frac{1}{V} \sum_k \rightarrow \int d\xi N(\xi) \approx N(0) \int d\xi \quad (\hbar\omega_D \ll \epsilon_F)$$

$N \rightarrow$ densidade de estados de partícula única disponível para as partículas do sistema.

$$\begin{aligned} 1 &= \frac{\lambda N(0)}{2} \int_{-\hbar\omega_D}^{\hbar\omega_D} d\xi \frac{1}{\sqrt{\Delta^2 + \xi_k^2}} = \\ &= \lambda N(0) \ln \left[\frac{\hbar\omega_D + \sqrt{(\hbar\omega_D)^2 + \Delta^2}}{\Delta} \right] \approx \lambda N(0) \ln \frac{2\hbar\omega_D}{\Delta} \end{aligned}$$

Teoria BCS

$$\Delta = 2\hbar\omega_D \exp -\frac{1}{\lambda N(0)}$$

usando $u_k^2 + v_k^2 = 1$,

$$u_k^2 = \frac{1}{2} \left[1 + \frac{\xi_k}{\sqrt{\Delta^2 + \xi_k^2}} \right]$$

$$v_k^2 = \frac{1}{2} \left[1 - \frac{\xi_k}{\sqrt{\Delta^2 + \xi_k^2}} \right]$$

$\langle f_k^\dagger f_k \rangle = v_k^2 \rightarrow$ número de ocupação dos férmions originais no novo estado

Para $\Delta = 0$,

Teoria BCS

$\langle f_k^\dagger f_k \rangle = v_k^2 \rightarrow$ Número de ocupação dos férmions originais no novo estado fundamental

Para $\Delta = 0$,

$$v_k^2 = \frac{1}{2} \left[1 - \frac{\xi_k}{|\xi_k|} \right] = \theta[\epsilon(\vec{k}) - \mu],$$

o que é esperado para férmions livres.

